

ÍNDICE GENERAL

| | | |
|----------|---|----------|
| 1 | Introducción | 1 |
| 1.1. | Procesamiento digital de imágenes | 1 |
| 1.2. | Procesamiento digital de imágenes: fundamentos y aplicaciones con GNU Octave y OpenCV | 1 |
| 2 | Planteamiento del problema | 3 |
| 2.1. | Clasificación de hojas de café | 3 |
| 2.2. | Objetivo general | 3 |
| 2.3. | Objetivo específico | 3 |
| 2.4. | Alcance | 3 |
| 2.5. | Justificación | 4 |
| 2.6. | Especificaciones técnicas | 4 |
| 2.7. | Metodología | 4 |
| 2.7.1. | Modelo de colores HSV | 4 |
| 3 | Procedimiento | 5 |
| 3.1. | Lectura del dataset | 5 |
| 3.1.1. | La clase CoffeeLeaf | 6 |
| 3.2. | Procesado de la imagen | 7 |
| 3.2.1. | Conversión de BGR a RGB | 8 |
| 3.2.2. | Creación de las regiones de interés | 8 |
| 3.2.3. | Creación de la máscara | 10 |
| 3.2.4. | Enmascaramiento de las regiones de interés | 11 |
| 3.2.5. | Histograma de la región de interés | 13 |

| | | |
|----------|--|-----------|
| 3.2.6. | Segmentación de la imagen | 13 |
| 3.2.7. | Clasificación de la hoja | 14 |
| 3.3. | Presentación de los datos | 15 |
| 3.3.1. | Resumen | 16 |
| 3.3.2. | Imagen original | 16 |
| 3.3.3. | Máscara | 16 |
| 3.3.4. | Regiones de interés | 17 |
| 3.3.5. | Imagen segmentada | 17 |
| 3.3.6. | Histograma | 17 |
| 4 | Resultados | 19 |
| 4.1. | Resultado principal | 19 |
| 4.1.1. | Segmentación Hue en 30 y 120 | 19 |
| 4.2. | Resultados secundarios | 21 |
| 4.2.1. | Segmentación Hue en 40 y 120 | 21 |
| 4.2.2. | Segmentación Hue en 40 y 80 | 23 |
| 4.2.3. | Segmentación Hue en 30 y 100 | 24 |
| 4.2.4. | Segmentación Hue en 30 y 80 | 26 |
| 4.2.5. | Segmentación Hue en 28 y 120 | 28 |
| 4.2.6. | Segmentación Hue en 25 y 120 | 29 |
| 4.3. | Casos especiales | 31 |
| 4.3.1. | Iluminación | 31 |
| 4.3.2. | Envés de la hoja | 31 |
| 5 | Conclusiones | 33 |
| 5.1. | Conclusiones específicas | 33 |
| 5.1.1. | Mejoras y trabajo a futuro | 33 |
| 5.2. | Conclusiones generales | 33 |
| | Referencias | 33 |

ÍNDICE DE CÓDIGOS

| | | |
|-----|---|----|
| 1. | Cargar las anotaciones del dataset | 5 |
| 2. | La clase CoffeeLeaf | 6 |
| 3. | Lista de objetos CoffeLeaf | 7 |
| 4. | Función process del la clase CoffeeLeaf | 7 |
| 5. | Iniciar procesamiento de las imágenes | 7 |
| 6. | Convertir imagen BGR a RGB | 8 |
| 7. | Puntos (x, y) del contorno de la hoja de café | 8 |
| 8. | Crear regiones de interés | 10 |
| 9. | Crear máscara | 11 |
| 10. | Enmascarar las regiones de interés | 12 |
| 11. | Cálcular histograma de la región de interés | 13 |
| 12. | Segmentar la región de interés | 14 |
| 13. | Clasificar hoja de café | 15 |
| 14. | Describir objeto CoffeeLeaf | 15 |
| 15. | Mostrar resumen de la clasificación | 16 |
| 16. | Mostrar imagen original | 16 |
| 17. | Mostrar máscara | 16 |
| 18. | Mostrar regiones de interés | 17 |
| 19. | Mostrar segmentación de la imagen | 17 |
| 20. | Mostrar histograma de la región de interés | 18 |

ÍNDICE DE FIGURAS

| | |
|---|----|
| 3.1. Imagen original en RGB | 8 |
| 3.2. Polígono que delimita el contorno de la hoja | 9 |
| 3.3. Cuadro que aísla a la hoja de café | 9 |
| 3.4. Región de interés en RGB | 10 |
| 3.5. Región de interés en HSV | 10 |
| 3.6. Máscara | 11 |
| 3.7. Región de interés RGB enmascarada | 12 |
| 3.8. Región de interés Hue enmascarada | 12 |
| 3.9. Histograma de la región de interés | 13 |
| 3.10. Imagen segmentada | 14 |
| 4.1. Eficiencia detectando el estado con Hue 30-120 | 20 |
| 4.2. Eficiencia detectando la categoría con Hue 30-120 | 20 |
| 4.3. Eficiencia por categoría con Hue 30-120 | 21 |
| 4.4. Eficiencia detectando el estado con Hue 40-120 | 21 |
| 4.5. Eficiencia detectando la categoría con Hue 40-120 | 22 |
| 4.6. Eficiencia por categoría con Hue 40-120 | 22 |
| 4.7. Eficiencia detectando el estado con Hue 40-80 | 23 |
| 4.8. Eficiencia detectando la categoría con Hue 40-80 | 23 |
| 4.9. Eficiencia por categoría con Hue 40-80 | 24 |
| 4.10. Eficiencia detectando el estado con Hue 30-100 | 25 |
| 4.11. Eficiencia detectando la categoría con Hue 30-100 | 25 |
| 4.12. Eficiencia por categoría con Hue 30-100 | 26 |
| 4.13. Eficiencia detectando el estado con Hue 30-80 | 26 |
| 4.14. Eficiencia detectando la categoría con Hue 30-80 | 27 |
| 4.15. Eficiencia por categoría con Hue 30-80 | 27 |

| | |
|---|----|
| 4.16. Eficiencia detectando el estado con Hue 28-120 | 28 |
| 4.17. Eficiencia detectando la categoría con Hue 28-120 | 28 |
| 4.18. Eficiencia por categoría con Hue 28-120 | 29 |
| 4.19. Eficiencia detectando el estado con Hue 25-120 | 30 |
| 4.20. Eficiencia detectando la categoría con Hue 25-120 | 30 |
| 4.21. Eficiencia por categoría con Hue 25-120 | 31 |

ÍNDICE DE TABLAS

| | |
|---|----|
| 3.1. Anotaciones del dataset | 6 |
| 4.1. Eficiencias generales con Hue 30-120 | 19 |
| 4.2. Eficiencia por categoría con Hue 30-120 | 20 |
| 4.3. Eficiencias generales con Hue 40-120 | 21 |
| 4.4. Eficiencia por categoría con Hue 40-120 | 22 |
| 4.5. Eficiencias generales con Hue 40-80 | 23 |
| 4.6. Eficiencia por categoría con Hue 40-80 | 24 |
| 4.7. Eficiencias generales con Hue 30-100 | 24 |
| 4.8. Eficiencia por categoría con Hue 30-100 | 25 |
| 4.9. Eficiencias generales con Hue 30-80 | 26 |
| 4.10. Eficiencia por categoría con Hue 30-80 | 27 |
| 4.11. Eficiencias generales con Hue 28-120 | 28 |
| 4.12. Eficiencia por categoría con Hue 28-120 | 29 |
| 4.13. Eficiencias generales con Hue 25-120 | 29 |
| 4.14. Eficiencia por categoría con Hue 25-120 | 30 |



1

INTRODUCCIÓN

1.1. Procesamiento digital de imágenes

1.2. Procesamiento digital de imágenes: fundamentos y aplicaciones con GNU Octave y OpenCV

Durante el seminario *Procesamiento Digital de Imágenes: Fundamentos y Aplicaciones con GNU Octave y OpenCV* llevado a cabo en los meses de junio a agosto de 2025 e impartido por el PhD. Luis Escalante Zárate se revisaron varios temas principales acerca del procesamiento digital de imágenes.



PLANTEAMIENTO DEL PROBLEMA

2.1. Clasificación de hojas de café

2.2. Objetivo general

Demostrar las habilidades adquiridas durante el seminario *Procesamiento Digital de Imágenes: Fundamentos y Aplicaciones con GNU Octave y Open CV* aplicando los principios y técnicas básicas de manera práctica a un proyecto en particular.

2.3. Objetivo específico

Crear un algoritmo que clasifique hojas de café como sanas o infectadas y su nivel de afectación, y evaluar su eficiencia comparando los resultados obtenidos con los proporcionados en el conjunto de datos.

2.4. Alcance

A pesar de que el conjunto de datos de prueba contiene seis clasificaciones para las hojas, el algoritmo desarrollado sólo incluirá la clasificación sana y los cuatro niveles de



afectación, excluyendo la clasificación *araña roja* debido a las retriicciones en el tiempo del proyecto.

2.5. Justificación

El algoritmo y las técnicas utilizadas pueden aplicarse de manera directa en el mundo real dentro del área de la agricultura y/o agronomía, e idealmente puede servir como base para desarrollar procesos automatizados para el control de calidad en el campo del café.

2.6. Especificaciones técnicas

Se utilizará Python como lenguaje de programación para la implementación del algoritmo debido a su facilidad de uso y al amplio número de bibliotecas disponibles para el procesamiento de imágenes tales como OpenCV.

2.7. Metodología

2.7.1. Modelo de colores HSV



3

PROCEDIMIENTO

A continuación se describen los procesos del algoritmo que permiten solucionar el problema especificado. El código fuente está disponible de manera digital en la plataforma de GitHub [1].

3.1. Lectura del dataset

Se comienza leyendo el dataset que contiene información que ha sido etiquetada de manera manual por los autores del mismo. Este proceso se describe en Código 1.

```
import json

annotations_file = "RoCoLe.json"

with open(annotations_file, "r") as f:
    annotations = json.load(f)
```

Código 1: Cargar las anotaciones del dataset

Utilizando la biblioteca `json` de Python leemos el archivo `RoCoLe.json` (originalmente `Annotations/RoCoLe-json.json`). La variable `annotations` contiene la información necesaria para contruir nuestro conjunto de datos de prueba (véase Tabla 3.1).



| Anotación | Descripción |
|-----------------------|--|
| ID | Identificador de la hoja |
| Label.Leaf.0.state | Estado de la hoja como saludable o infectada |
| Label.classification | Clasificación de la hoja o nivel de afectación |
| Label.Leaf.0.geometry | Puntos (x,y) que determinan el contorno de la hoja |

Tabla 3.1: Anotaciones del dataset

3.1.1. La clase CoffeeLeaf

A continuación creamos una clase llamada `CoffeeLeaf` la cual se encarga de contener los datos proporcionados en las anotaciones y que representa a una hoja de café. Los atributos de esta clase pueden observarse en Código 2.

```
class CoffeeLeaf:
    def __init__(self, leaf_id, state, classification, image_bgr,
        ↪ geometry):
        self.id = leaf_id
        self.state_manual = state
        self.state_computed = None
        self.classification_manual = classification
        self.classification_computed = None
        self.image_bgr = image_bgr
        self.image_rgb = None
        self.roi_rgb = None
        self.roi_hsv = None
        self.masked_roi_rgb = None
        self.masked_roi_hue = None
        self.mask = None
        self.area = None
        self.affected_percentage = None
        self.histogram_hue = None
        self.limit_below = None
        self.limit_above = None
        self.binary = None
        self.contours = None
        self.contours_canvas = None
        self.polygon = None
        self.geometry = geometry
        self._processed = False
```

Código 2: La clase CoffeeLeaf

Una vez creada la clase `CoffeeLeaf` y leído los datos del dataset, procedemos a crear la lista `coffee_leaves` utilizando los datos de la Tabla 3.1, tal como se muestra en Código 3. El directorio `../rocole.photos/` contiene los archivos `.jpeg` del dataset (`Annotations/RoCoLe-voc.tar.gz/export`).



```
IMAGES_PATH = "../rocole_photos/"

coffee_leaves = []

for annotation in annotations:
    classification = annotation["Label"]["classification"]
    if classification != "red_spider_mite":
        leaf_id = annotation["ID"]
        state = annotation["Label"]["Leaf"][0]["state"]
        geometry = annotation["Label"]["Leaf"][0]["geometry"]
        leaf_image = f"{IMAGES_PATH}/{leaf_id}.jpeg"
        image_bgr = cv.imread(leaf_image)
        coffee_leaf = CoffeeLeaf(leaf_id, state, classification,
                                ↪ image_bgr, geometry)
        coffee_leaves.append(coffee_leaf)
```

Código 3: Lista de objetos CoffeLeaf

3.2. Procesado de la imagen

Una vez creada la lista `coffee_leaves` iniciamos el procesamiento de las imágenes a través de la función `process` (Código 4) de la clase `CoffeeLeaf`. Véase Código 5.

```
def process(self):
    self._generate_image_rgb()
    self._create_polygon()
    self._create_roi()
    self._create_mask()
    self._create_masked_roi()
    self._compute_histogram()
    self._binarize()
    self._categorize()
    self._processed = True
```

Código 4: Función process del la clase CoffeeLeaf

```
for coffee_leaf in coffee_leaves:
    coffee_leaf.process()
```

Código 5: Iniciar procesamiento de las imágenes



3.2.1. Conversión de BGR a RGB

Debido a que cuando creamos los objetos `CoffeeLeaf` el argumento `image_bgr` pasa datos de una imagen en color BGR (Blue, Green, Red), que es la representación de color por defecto de *OpenCV*, y ya que *matplotlib*, la herramienta para la visualización de las imágenes, utiliza una representación RGB (Red, Green, Blue), una conversión de color es necesaria. Véase Código 6.

```
def _generate_image_rgb(self):  
    self.image_rgb = cv.cvtColor(self.image_bgr, cv.COLOR_BGR2RGB)
```

Código 6: Convertir imagen BGR a RGB

El resultado de esta conversión permite visualizar la imagen original (Figura 3.1).



Figura 3.1: Imagen original en RGB

3.2.2. Creación de las regiones de interés

La anotación `geometry` del dataset nos provee de una serie de puntos (x,y) que representan el contorno de la hoja de café y que nos sirven para crear un polígono (Código 7).

```
def _create_polygon(self):  
    polygon_points = [list(point.values()) for point in self.geometry]  
    self.polygon = np.array(polygon_points)
```

Código 7: Puntos (x, y) del contorno de la hoja de café



El contorno de la hoja de café se puede apreciar en la Figura 3.2.



Figura 3.2: Polígono que delimita el contorno de la hoja

Posteriormente creamos el rectángulo mínimo que encierra a esta región, como se aprecia en la Figura 3.3 y lo usamos para recortar nuestra región de interés (véase Código 8).



Figura 3.3: Cuadro que aísla a la hoja de café



```
def _create_roi(self):  
    x,y,w,h = cv.boundingRect(self.polygon)  
    self.roi_rgb = self.image_rgb[y:y+h, x:x+w].copy()  
    self.roi_hsv = cv.cvtColor(self.roi_rgb, cv.COLOR_RGB2HSV)
```

Código 8: Crear regiones de interés

Creamos dos regiones de interés: la primera en RGB (Figura 3.4) para la presentación al usuario y la segunda en HSV (Hue, Saturation, Value) (Figura 3.5) que nos servirá en la segmentación de la imagen.



Figura 3.4: Región de interés en RGB

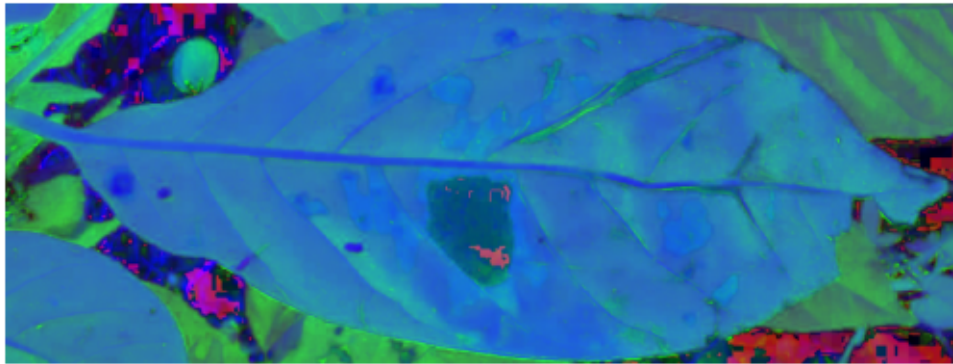


Figura 3.5: Región de interés en HSV

3.2.3. Creación de la máscara

Utilizando las regiones de interés previamente creadas y el polígono que delimita el contorno de la hoja, procedemos a crear una máscara (Código 9) que nos será útil en las



operaciones matriciales del procesamiento de la imagen. Véase Figura 3.6.

```
def _create_mask(self):  
    self.mask = np.zeros(self.roi_hsv.shape[:2], np.uint8)  
    polygon_start = self.polygon.min(axis=0)  
    polygon_at_zero = self.polygon - polygon_start  
    CONTOURS = -1 # All contours  
    COLOR = (255, 255, 255) # White  
    THICKNESS = -1 # Fill  
    self.mask = cv.drawContours(self.mask, [polygon_at_zero], CONTOURS,  
                                COLOR, THICKNESS)  
    self.area = cv.countNonZero(self.mask)
```

Código 9: Crear máscara

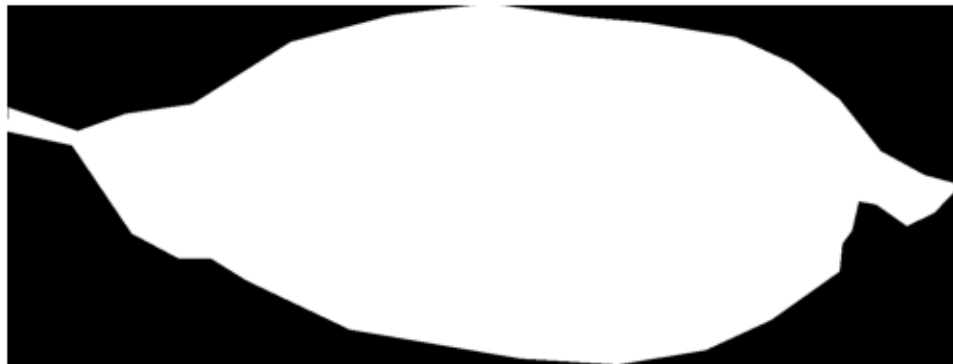


Figura 3.6: Máscara

Nótese que en Código 9 calculamos el área que ocupa la máscara (píxeles en color blanco), o lo que es mismo, el área de la hoja de café.

3.2.4. Enmascaramiento de las regiones de interés

Una vez teniendo la máscara y las regiones de interés, procedemos a *enmascarar* dichas regiones (Código 10). Para el caso de la región de interés en RGB es por mera conveniencia al presentar esta región al usuario. Sin embargo, para el enmascaramiento de la región de interés en HSV es de suma importancia usar únicamente el canal Hue (Matiz) puesto que nuestra segmentación se basará en el color.



```
def _create_masked_roi(self):  
    self.masked_roi_rgb = cv.bitwise_and(self.roi_rgb, self.roi_rgb,  
        ↪ mask=self.mask)  
    self.masked_roi_hue = cv.bitwise_and(self.roi_hsv[:, :, 0], self.mask)
```

Código 10: Enmascarar las regiones de interés

El resultado de este enmascaramiento se puede apreciar en la Figura 3.7 para RGB y en la Figura 3.8 para Hue.



Figura 3.7: Región de interés RGB enmascarada

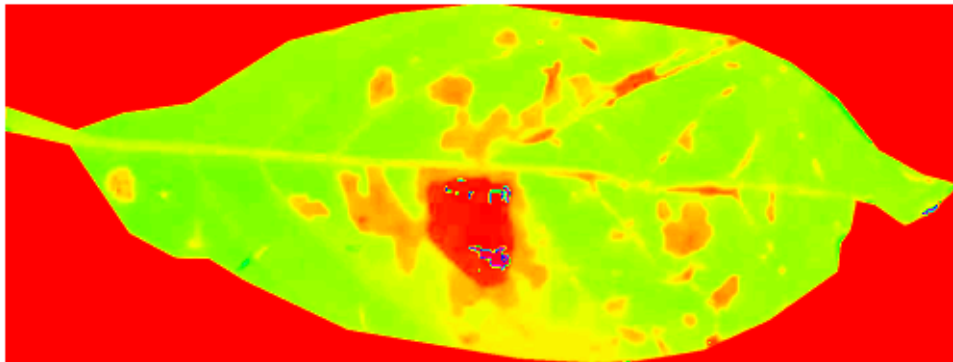


Figura 3.8: Región de interés Hue enmascarada

Nótese que el valor más bajo para el canal Hue no es un color negro sino un matiz rojo. Esto se debe a la representación circular que emplea el modelo HSV.



3.2.5. Histograma de la región de interés

Una vez que tenemos la región de interés en el canal Hue, procedemos a calcular su histograma (Código 11) utilizando la máscara (Figura 3.6) de tal manera que no representemos datos fuera del contorno de la hoja. El resultado de la distribución de color puede verse en la Figura 3.9.

```
def _compute_histogram(self):  
    hsv_normalizer = Normalize(vmin=0, vmax=179)  
    self.hsv_mappable = ScalarMappable(norm=hsv_normalizer, cmap='hsv')  
    self.histogram_hue = cv.calcHist([self.masked_roi_hue], [0],  
    ↪ self.mask, [180], [0,180])
```

Código 11: Calcular histograma de la región de interés

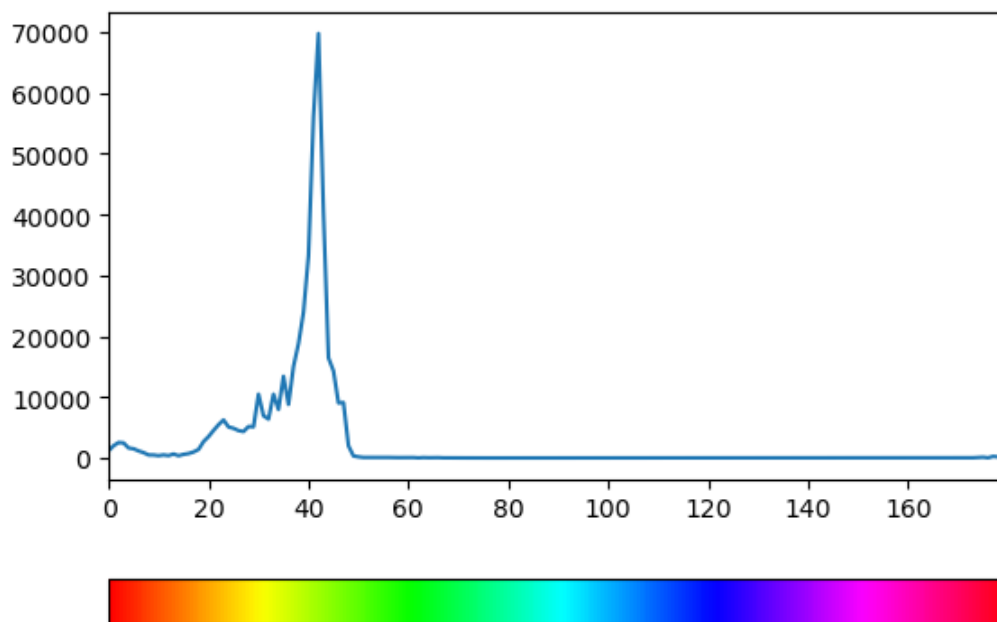


Figura 3.9: Histograma de la región de interés

3.2.6. Segmentación de la imagen

Del histograma nos interesa la región de la hoja que se considera saludable, es decir, la región del espectro Hue en matices verdes, un poco del amarillo-naranja (umbral inferior) y hasta la región azul (umbral superior) para cuando las hojas tengan un verde intenso acercándose a tonos azules.

En el Código 12 hemos asignado al umbral inferior el valor de 30 y al umbral superior el valor de 120. Segmentamos cada parte de los umbrales y el resultado los unimos



usando una operación AND elemento por elemento, resultando en la imagen segmentada apropiadamente (Figura 3.10).

```
def _binarize(self):  
    GREEN_LIMIT_BELOW = 30  
    GREEN_LIMIT_ABOVE = 120  
    _, segments_below_green = cv.threshold(self.masked_roi_hue,  
    ↪ GREEN_LIMIT_BELOW, 179, cv.THRESH_BINARY)  
    _, segments_above_green = cv.threshold(self.masked_roi_hue,  
    ↪ GREEN_LIMIT_ABOVE, 179, cv.THRESH_BINARY_INV)  
    self.binary = cv.bitwise_and(segments_below_green,  
    ↪ segments_above_green)
```

Código 12: Segmentar la región de interés

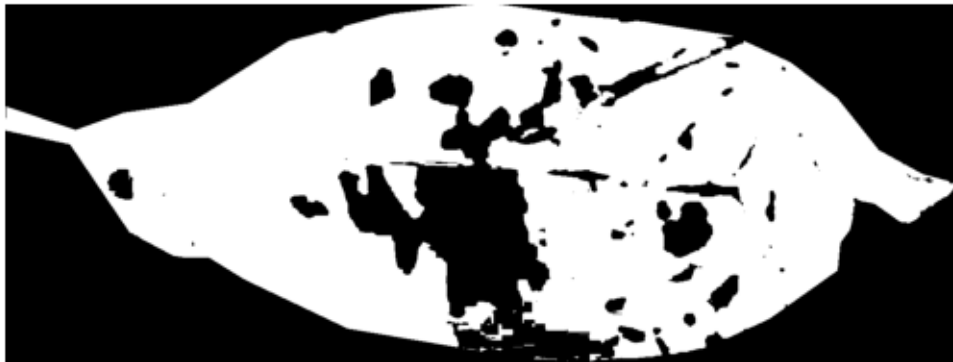


Figura 3.10: Imagen segmentada

3.2.7. Clasificación de la hoja

Una vez segmentada la hoja de café en su parte saludable (píxeles blancos) e infectada (píxeles negros dentro de la máscara), procedemos a clasificarla utilizando la misma ponderación usada por los autores (REF Tabla).

Para el cálculo del porcentaje afectado, simplemente calculamos el área saludable de la hoja a partir de la imagen segmentada (Figura 3.10) y restamos este valor al área de la máscara (Código 9), como se describe en Código 13.



```
def _categorize(self):
    healthy_area = cv.countNonZero(self.binary)
    affected_area = self.area - healthy_area
    self.affected_percentage = int((affected_area / self.area) * 100)
    if self.affected_percentage < 1:
        self.state_computed = "healthy"
        self.classification_computed = "healthy"
    elif self.affected_percentage < 6:
        self.state_computed = "unhealthy"
        self.classification_computed = "rust_level_1"
    elif self.affected_percentage < 21:
        self.state_computed = "unhealthy"
        self.classification_computed = "rust_level_2"
    elif self.affected_percentage < 51:
        self.state_computed = "unhealthy"
        self.classification_computed = "rust_level_3"
    else:
        self.state_computed = "unhealthy"
        self.classification_computed = "rust_level_4"
```

Código 13: Clasificar hoja de café

Esta clasificación marca el fin del algoritmo para el procesamiento de la imagen, obteniéndose dos categorías: 1) el estado de la hoja y 2) el nivel de afectación en caso de ser una hoja infectada.

3.3. Presentación de los datos

A continuación se muestran las funciones que permiten describir el objeto **Coffee Leaf** de una manera intuitiva al usuario. La función **describe** (Código 14) orquesta la presentación pero cada función puede accederse de manera individual.

```
def describe(self):
    if not self._processed:
        print("Imagen aún no procesada")
        return
    self.show_summary()
    self.show_original_image()
    self.show_mask()
    self.show_roi()
    self.show_roi(hue=True)
    self.show_binary()
    self.show_histogram()
```

Código 14: Describir objeto CoffeeLeaf



3.3.1. Resumen

La función `show_summary` (Código 15) muestra la clasificación original de la hoja, la nueva clasificación calculada y el porcentaje de afectación calculado.

```
def show_summary(self):
    original_class = self.classification_manual
    new_class = self.classification_computed
    affected_area = self.affected_percentage
    title_md =
    ↪ f"### {original_class} --> {new_class} ({affected_area} %)"
    display(Markdown(title_md))
```

Código 15: Mostrar resumen de la clasificación

3.3.2. Imagen original

La función `show_original_image` (Código 16) muestra la imagen original en RGB (Figura 3.1) y agrega un título.

```
def show_original_image(self):
    plt.imshow(self.image_rgb)
    plt.title("Imagen Original")
    plt.axis("off")
    plt.show()
```

Código 16: Mostrar imagen original

3.3.3. Máscara

La función `show_mask` (Código 17) muestra la máscara calculada (Figura 3.6) y agrega un título. Nótese que es necesario especificar un mapa de colores, en este caso *gray*, para poder visualizar la máscara en escala de grises, ya que *matplotlib* utiliza el mapa de colores *viridis* por defecto.

```
def show_mask(self):
    plt.imshow(self.mask, cmap="gray")
    plt.title("Máscara")
    plt.axis("off")
    plt.show()
```

Código 17: Mostrar máscara



3.3.4. Regiones de interés

La función `show_roi` (Código 18) se encarga de mostrar las regiones de interés enmascaradas y agrega un título. Esta función recibe un argumento *booleano* `hue` para indicar si se debe mostrar la región de interés en RGB (Figura 3.7) o bien la del canal Hue (Figura 3.8). Nótese que si se quiere mostrar la región de interés del canal Hue, es necesario especificar el mapa de colores *hsv* para una visualización apropiada.

```
def show_roi(self, hue=False):
    if hue:
        colorspace = "Hue"
        plt.imshow(self.masked_roi_hue, cmap="hsv")
    else:
        colorspace = "RGB"
        plt.imshow(self.masked_roi_rgb)
    plt.title(f"Región de Interés ({colorspace})")
    plt.axis("off")
    plt.show()
```

Código 18: Mostrar regiones de interés

3.3.5. Imagen segmentada

La función `show_binary` (Código 19) se encarga de mostrar la imagen segmentada (Figura 3.10) y agrega un título.

```
def show_binary(self):
    plt.imshow(self.binary, cmap="gray")
    plt.title(f"Segmentación")
    plt.axis("off")
    plt.show()
```

Código 19: Mostrar segmentación de la imagen

3.3.6. Histograma

Finalmente, la función `show_histogram` (Código 20) se encarga de mostrar el histograma (Figura 3.9) de la región de interés del canal Hue (Figura 3.8) y agrega un título, el cual contiene el valor Hue (o Matiz) más abundante.



```
def show_histogram(self):
    fig, ax = plt.subplots()
    ax.plot(self.histogram_hue)
    colorbar = plt.colorbar(self.hsv_mappable, ax=ax, location="bottom")
    colorbar.set_ticks([])
    idx_max = np.argmax(self.histogram_hue)
    plt.title(f"Histograma (Hue) Máx={idx_max}")
    plt.margins(x=0)
    plt.show()
```

Código 20: Mostrar histograma de la región de interés



4

RESULTADOS

En el capítulo anterior describimos el proceso para segmentar las imágenes a través del canal Hue. Empleando diferentes valores para los parámetros de umbral inferior y umbral superior (Sección 3.2.6) se obtienen los siguientes resultados.

4.1. Resultado principal

A continuación se presenta el resultado principal, definido en Código 12.

4.1.1. Segmentación Hue en 30 y 120

La Tabla 4.1 muestra el porcentaje de eficiencia alcanzado para clasificar las hojas de café por su estado saludable o infectado (Figura 4.1), o bien, el porcentaje de eficiencia global para las categorías (Figura 4.2).

| Clasificación | Total | Aciertos | Errores | Eficiencia |
|---------------|-------|----------|---------|------------|
| Estado | 1393 | 962 | 431 | 69.059 |
| Categoría | 1393 | 715 | 678 | 51.328 |

Tabla 4.1: Eficiencias generales con Hue 30-120

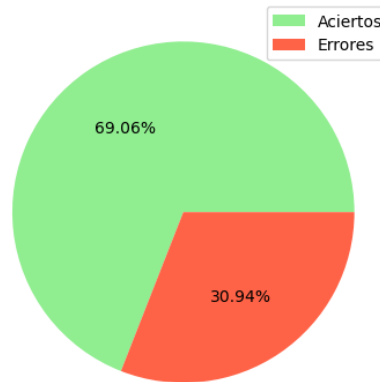


Figura 4.1: Eficiencia detectando el estado con Hue 30-120

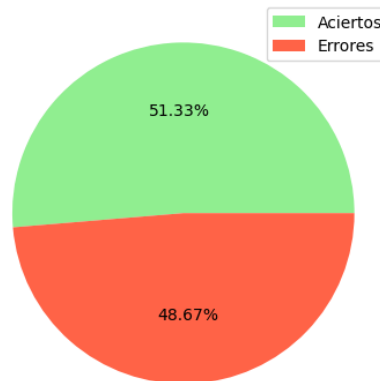


Figura 4.2: Eficiencia detectando la categoría con Hue 30-120

A su vez la Tabla 4.2 muestra la eficiencia alcanzada por cada una de las categorías: saludable, roya nivel 1, roya nivel 2, roya nivel 3 y roya nivel 4 (Figura 4.3).

| Categoría | Original | Calculado | Eficiencia |
|--------------|----------|-----------|------------|
| healthy | 791 | 445 | 56.257 |
| rust_level_1 | 344 | 196 | 56.976 |
| rust_level_2 | 166 | 67 | 40.361 |
| rust_level_3 | 62 | 6 | 9.677 |
| rust_level_4 | 30 | 1 | 3.333 |

Tabla 4.2: Eficiencia por categoría con Hue 30-120

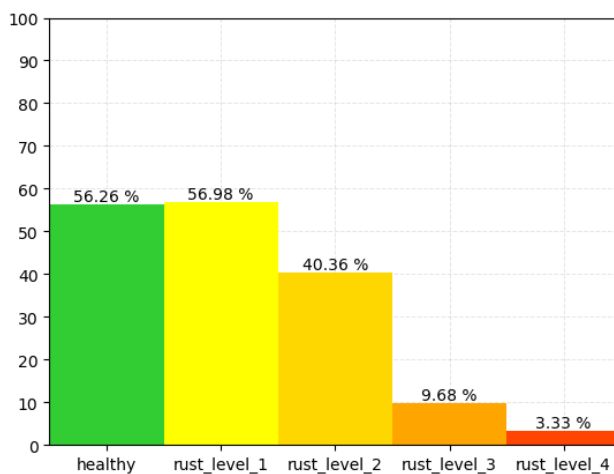


Figura 4.3: Eficiencia por categoría con Hue 30-120

4.2. Resultados secundarios

4.2.1. Segmentación Hue en 40 y 120

| Clasificación | Total | Aciertos | Errores | Eficiencia |
|---------------|-------|----------|---------|------------|
| Estado | 1393 | 962 | 431 | 69.059 |
| Categoría | 1393 | 715 | 678 | 51.328 |

Tabla 4.3: Eficiencias generales con Hue 40-120

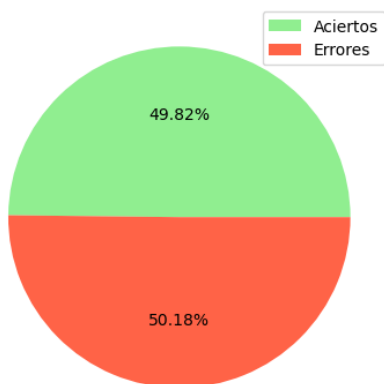


Figura 4.4: Eficiencia detectando el estado con Hue 40-120



4.2. RESULTADOS SECUNDARIOS

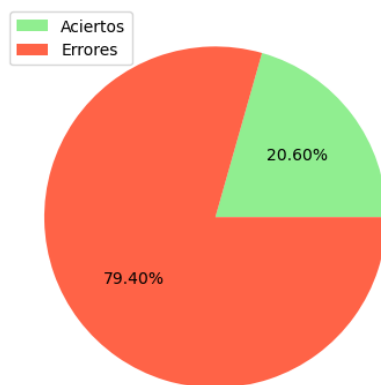


Figura 4.5: Eficiencia detectando la categoría con Hue 40-120

| Categoría | Original | Calculado | Eficiencia |
|--------------|----------|-----------|------------|
| healthy | 791 | 445 | 56.257 |
| rust_level_1 | 344 | 196 | 56.976 |
| rust_level_2 | 166 | 67 | 40.361 |
| rust_level_3 | 62 | 6 | 9.677 |
| rust_level_4 | 30 | 1 | 3.333 |

Tabla 4.4: Eficiencia por categoría con Hue 40-120

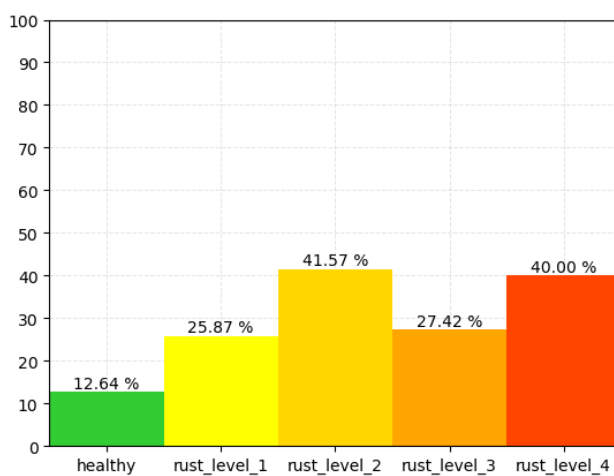


Figura 4.6: Eficiencia por categoría con Hue 40-120



4.2.2. Segmentación Hue en 40 y 80

| Clasificación | Total | Aciertos | Errores | Eficiencia |
|---------------|-------|----------|---------|------------|
| Estado | 1393 | 962 | 431 | 69.059 |
| Categoría | 1393 | 715 | 678 | 51.328 |

Tabla 4.5: Eficiencias generales con Hue 40-80

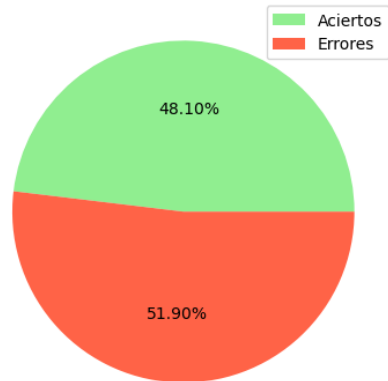


Figura 4.7: Eficiencia detectando el estado con Hue 40-80

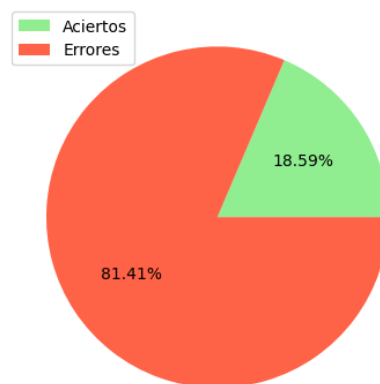


Figura 4.8: Eficiencia detectando la categoría con Hue 40-80



| Categoría | Original | Calculado | Eficiencia |
|--------------|----------|-----------|------------|
| healthy | 791 | 445 | 56.257 |
| rust_level_1 | 344 | 196 | 56.976 |
| rust_level_2 | 166 | 67 | 40.361 |
| rust_level_3 | 62 | 6 | 9.677 |
| rust_level_4 | 30 | 1 | 3.333 |

Tabla 4.6: Eficiencia por categoría con Hue 40-80

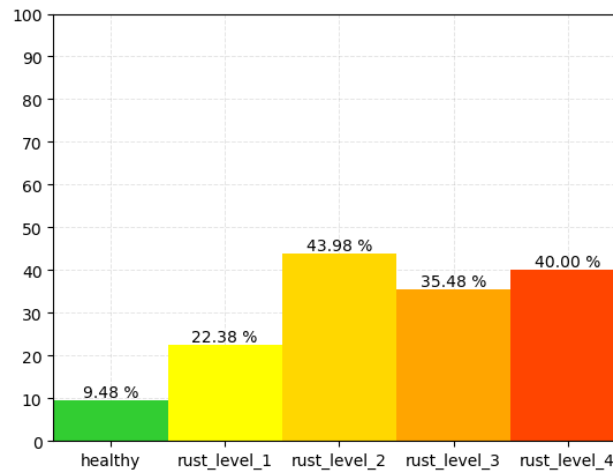


Figura 4.9: Eficiencia por categoría con Hue 40-80

4.2.3. Segmentación Hue en 30 y 100

| Clasificación | Total | Aciertos | Errores | Eficiencia |
|---------------|-------|----------|---------|------------|
| Estado | 1393 | 962 | 431 | 69.059 |
| Categoría | 1393 | 715 | 678 | 51.328 |

Tabla 4.7: Eficiencias generales con Hue 30-100

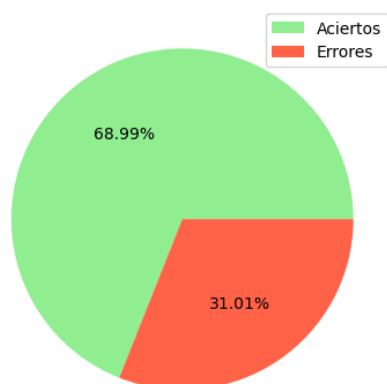


Figura 4.10: Eficiencia detectando el estado con Hue 30-100

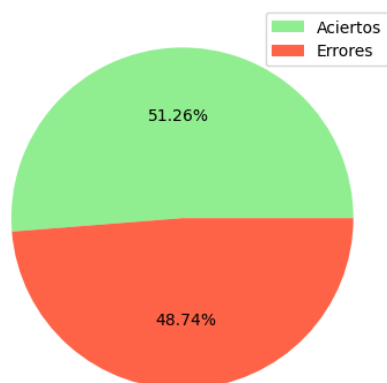


Figura 4.11: Eficiencia detectando la categoría con Hue 30-100

| Categoría | Original | Calculado | Eficiencia |
|--------------|----------|-----------|------------|
| healthy | 791 | 445 | 56.257 |
| rust_level_1 | 344 | 196 | 56.976 |
| rust_level_2 | 166 | 67 | 40.361 |
| rust_level_3 | 62 | 6 | 9.677 |
| rust_level_4 | 30 | 1 | 3.333 |

Tabla 4.8: Eficiencia por categoría con Hue 30-100

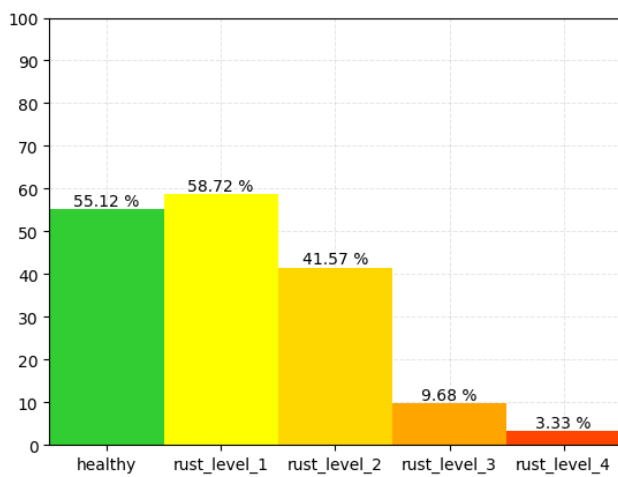


Figura 4.12: Eficiencia por categoría con Hue 30-100

4.2.4. Segmentación Hue en 30 y 80

| Clasificación | Total | Aciertos | Errores | Eficiencia |
|---------------|-------|----------|---------|------------|
| Estado | 1393 | 962 | 431 | 69.059 |
| Categoría | 1393 | 715 | 678 | 51.328 |

Tabla 4.9: Eficiencias generales con Hue 30-80

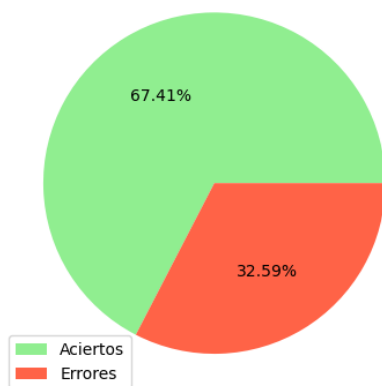


Figura 4.13: Eficiencia detectando el estado con Hue 30-80

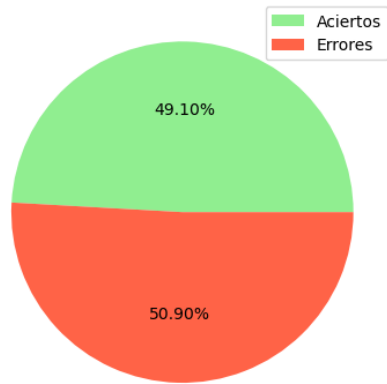


Figura 4.14: Eficiencia detectando la categoría con Hue 30-80

| Categoría | Original | Calculado | Eficiencia |
|--------------|----------|-----------|------------|
| healthy | 791 | 445 | 56.257 |
| rust_level_1 | 344 | 196 | 56.976 |
| rust_level_2 | 166 | 67 | 40.361 |
| rust_level_3 | 62 | 6 | 9.677 |
| rust_level_4 | 30 | 1 | 3.333 |

Tabla 4.10: Eficiencia por categoría con Hue 30-80

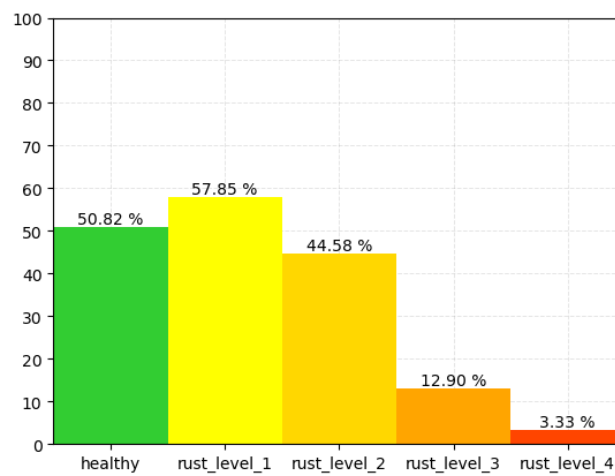


Figura 4.15: Eficiencia por categoría con Hue 30-80



4.2.5. Segmentación Hue en 28 y 120

| Clasificación | Total | Aciertos | Errores | Eficiencia |
|---------------|-------|----------|---------|------------|
| Estado | 1393 | 962 | 431 | 69.059 |
| Categoría | 1393 | 715 | 678 | 51.328 |

Tabla 4.11: Eficiencias generales con Hue 28-120

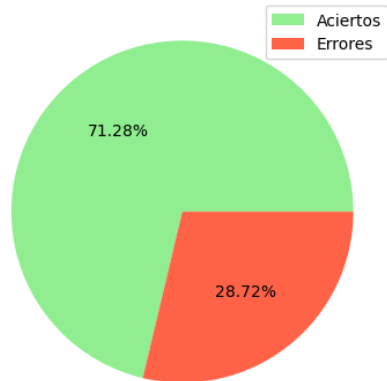


Figura 4.16: Eficiencia detectando el estado con Hue 28-120

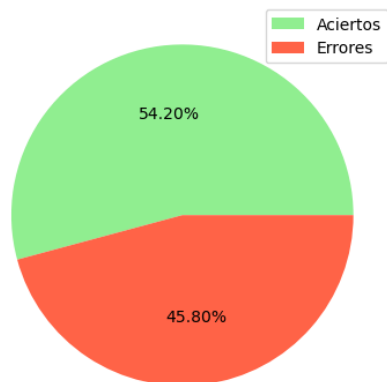


Figura 4.17: Eficiencia detectando la categoría con Hue 28-120



| Categoría | Original | Calculado | Eficiencia |
|--------------|----------|-----------|------------|
| healthy | 791 | 445 | 56.257 |
| rust_level_1 | 344 | 196 | 56.976 |
| rust_level_2 | 166 | 67 | 40.361 |
| rust_level_3 | 62 | 6 | 9.677 |
| rust_level_4 | 30 | 1 | 3.333 |

Tabla 4.12: Eficiencia por categoría con Hue 28-120

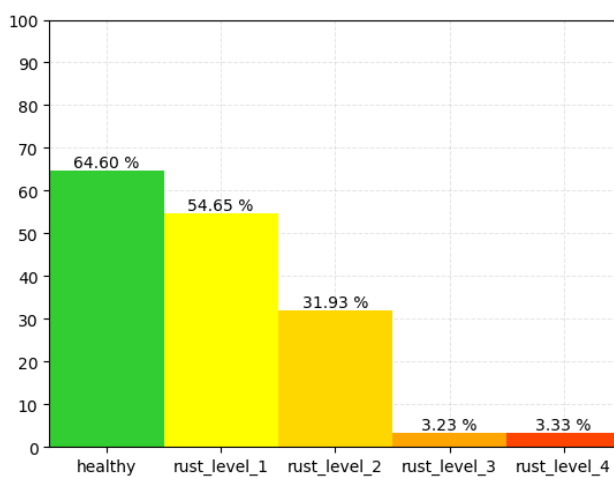


Figura 4.18: Eficiencia por categoría con Hue 28-120

4.2.6. Segmentación Hue en 25 y 120

| Clasificación | Total | Aciertos | Errores | Eficiencia |
|---------------|-------|----------|---------|------------|
| Estado | 1393 | 962 | 431 | 69.059 |
| Categoría | 1393 | 715 | 678 | 51.328 |

Tabla 4.13: Eficiencias generales con Hue 25-120

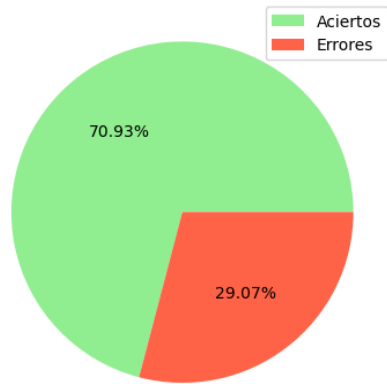


Figura 4.19: Eficiencia detectando el estado con Hue 25-120

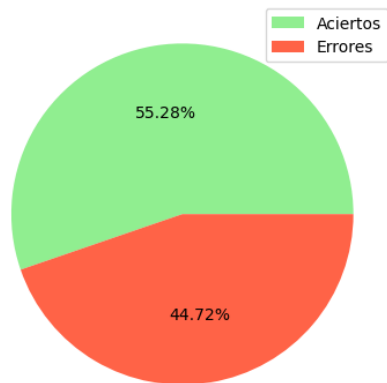


Figura 4.20: Eficiencia detectando la categoría con Hue 25-120

| Categoría | Original | Calculado | Eficiencia |
|--------------|----------|-----------|------------|
| healthy | 791 | 445 | 56.257 |
| rust_level_1 | 344 | 196 | 56.976 |
| rust_level_2 | 166 | 67 | 40.361 |
| rust_level_3 | 62 | 6 | 9.677 |
| rust_level_4 | 30 | 1 | 3.333 |

Tabla 4.14: Eficiencia por categoría con Hue 25-120

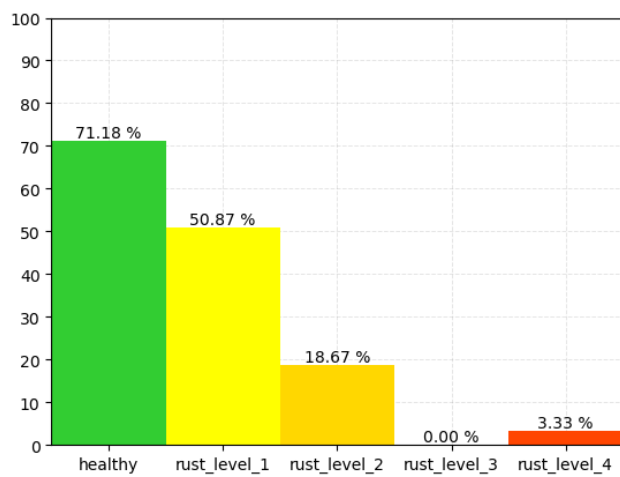


Figura 4.21: Eficiencia por categoría con Hue 25-120

4.3. Casos especiales

4.3.1. Iluminación

4.3.2. Envés de la hoja



5

CONCLUSIONES

5.1. Conclusiones específicas

5.1.1. Mejoras y trabajo a futuro

5.2. Conclusiones generales

REFERENCIAS

- [1] L. Dominguez, “Coffee Leaves Classification,” 07 2025. [Online]. Available: <https://github.com/LindermanDgz/coffee-leaves-classification>

